

過圧密粘土の応力緩和について

京都大学工学部 正員 赤井浩一
 京都大学工学部 正員 足立紀尚
 京都大学大学院 学生員 ○藤本和義

1). 目的 正規圧密粘土については、我々も弾-粘塑性体と著しく構成方程式¹⁾の説明を行ったばかりの研究がある。しかし過圧密粘土については Cambridge 学派²⁾のものなど、時間依存性を考慮したものは皆無く等しい。そこで軟岩に属する半固結状態における堆積岩を過圧密土によりシミュレートして、それら構成方程式と確実にする目的の一連の研究の研究を行っていきたい。ここではやく過圧密状態における粘土の応力緩和試験を行ない、過圧密粘土の構成方程式、説明に際する問題点を明らかにする。

2). 弾-粘塑性体として構成方程式 弾-粘塑性体として構成方程式の説明に際しては静的、動的降伏曲面を決定する必要がある。Roscoe and Burland²⁾によると正規圧密に対する降伏曲面を表わす Elastic Wall 内での排水条件で求めた過圧密土の等ひずみ線は図-1 に示すように η' -軸に平行である。このことから足主と周野³⁾は、静的、動的降伏曲面が過圧密土に対する η' -軸に平行な曲面であることを仮定し、図-2 に示すように求めるとき超屈心力関数 F は

$$F = \Delta k(\dot{\epsilon}_{yy}^p, \dot{\epsilon}_{yy}^d), \quad \Delta k(\dot{\epsilon}_{yy}^p, \dot{\epsilon}_{yy}^d) = (\sqrt{J_2})_d - (\sqrt{J_2})_s \quad (1)$$

となり、構成方程式は次式のように求まる。

$$\dot{\epsilon}_{yy} = \frac{\partial \sigma}{2G(e)} + \frac{1}{2} \frac{\partial \sigma}{1+\epsilon} \frac{\partial \epsilon}{\partial \sigma} \dot{\epsilon}_{yy} + \lambda < E(F) > \frac{\partial \sigma}{\sqrt{J_2}} \quad (2)$$

通常、三軸非排水状態で(2)式は

$$\dot{\epsilon}_{yy} = (\dot{\sigma}_1 - \dot{\sigma}_3)/2G(e) + \sqrt{3}/3 \lambda < E(F) >, \quad \sigma_m' = \text{const.} \quad (3)$$

したがって明確には有効応力経路は η' -軸と常に垂直となる。

3). 実験結果の比較考察 おりに過圧密の紫草粘土を用いて応力緩和実験を行なった。その物理諸量は $G=6.6 = 52.5 \sim 59.5 \text{ kg/cm}^2$, $P.L. = 30.0 \sim 31.9 \%$, 自然含水比 $39.1 \sim 42.5 \%$ 濃度変化 $= 1.78 \sim 1.79 \text{ g/cm}^3$ である。実験は 2 か月 1.96 cm^2 の先行圧密したものを所定の OCR まで膨潤せしめられ、 $0.6 \%/\text{min}$ のせん断速度で所定のひずみをせん断し、応力緩和を行なった。図-3 (a), (b) は応力緩和-時間曲線を σ/cm^2 で圧密した試料について求めたものであり、この図から村山⁴⁾は正規圧密粘土に対する応力緩和式⁵⁾が成立することがわかる。この結果、正規圧密粘土に対する式⁵⁾の $E(F)$ は \exp 関数であることが明確である。(3)式をこの応力緩和実験式に適用すると

$$(\sigma_1 - \sigma_3) = -\beta(\dot{\epsilon}_{yy}) \ln t + B \quad B: \text{定数} \quad (4)$$

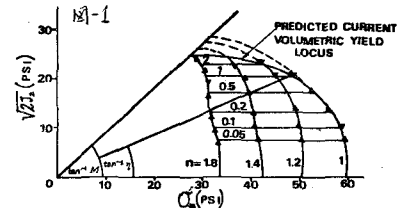
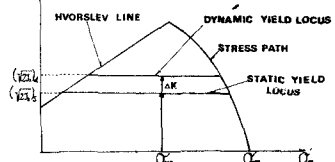


図-1



とする。応力緩和速度 $\beta(\text{分})$ は先行圧密圧力が等しい場合のせん断開始時、有効拘束圧 c_m' が薄いほど $\beta(\text{分})$ は大きいことがわかる。すなわち ρ/c_m' として求めたのが図-4である。この図からあるひずみ以上で β/c_m' はほぼ一定値をとると考えらる。また F は $c \exp\left(\frac{c_m'}{\beta} F\right)$ で与えられるところである。図-5には二つの試験過程の有効応力経路を示すが、過圧密状態では応力緩和速度は c_m' -軸に垂直に作用することわかる。図-6には定ひずみ速度試験によって求めた図-1と同様の等ひずみ線を求めてある。しかし二つ目では差異が現れる。すなわち得られたひずみ等ひずみ線は c_m' -軸に平行である仮定が成り立たないことは明らかである。一方一般に過圧密土のせん断時、有効応力経路は式(3)で与えられ、すなわち $c_m' = \text{一定}$ とはならない。したがって巣状化は静的、動的降伏曲面は c_m' -軸に平行な曲面では与えられず、下の詳細網目換算が必要となる。しかし動的降伏曲面は静的降伏曲面と c_m' -軸に垂直に相似であるとして求める。

④ 参考文献 ① Roscoe & Burland: (1968), Engineering Plasticity, Cambridge Press, ② 足立, 周野: (1974), Soils and Foundations, 技報中 ③ 村山, 関口, 上田: (1972), 昭和47年度土木学会関西支部年次学術講演会講演集 ④ 足立, 日中: (1975), 昭和48年度工木学会年次学術講演会講演集

